

УДК 536.24

ГРУППОВОЙ АНАЛИЗ УРАВНЕНИЙ НАВЬЕ-СТОКСА И ЭНЕРГИИ В КОНИЧЕСКИХ ЗАЗОРАХ И ПРИ НЕСТАЦИОНАРНОМ ТЕПЛООБМЕНЕ ВРАЩАЮЩЕГОСЯ ДИСКА

И. В. ШЕВЧУК, А. А. АВРАМЕНКО

Институт технической теплофизики НАН Украины, Киев

Получено 18.04.03

С помощью группового анализа получены автомодельные переменные и функции для вращающихся течений с теплообменом в коническом зазоре и нестационарного теплообмена вращающегося диска. Рассчитанные параметры профилей скорости и температуры, а также числа Нуссельта хорошо согласуются с известными экспериментальными данными.

За допомогою груповогого аналізу отримані автомодельні змінні та функції для обертових течій з теплообміном у конічному зазорі та нестационарного теплообміну обертового диску. Розраховані параметри профілів швидкості та температури, а також числа Нуссельта добре узгоджуються з відомими експериментальними даними.

Using group analysis, self-similar variables and functions for rotating flows with heat transfer in a conical gap and transient heat transfer of a rotating disk were obtained. Computed parameters of velocity and temperature profiles, as well as the Nusselt numbers, agree well with experimental data.

ВВЕДЕНИЕ

Теплообмен и гидродинамика в зазорах между диском и конусом, касающимся диска своей вершиной, являются важной фундаментальной и прикладной задачей [1–4]. Течения в зазоре между вращающимся конусом и неподвижным диском используются в вискозиметрии и медицине [1–3]. Метод разложения в ряд по малому параметру позволил получить теоретическое решение упрощенных уравнений Навье-Стокса для малых углов конусности зазора (менее 5°) [2, 3]. Ни одна из известных работ не содержит данных для одновременно вращающихся диска и конуса, а также результатов для теплообмена.

Нестационарный теплообмен вращающихся дисков имеет место в системах охлаждения дисков турбомашин, компьютеров и других [5]: нестационарными являются процессы при включении или выключении устройств и ряд методик определения коэффициентов теплоотдачи диска.

Задачей настоящей работы является получение автомодельной формы для стационарных уравнений Навье-Стокса и энергии для конического зазора, а также для нестационарного уравнения энергии для вращающегося диска.

1. ОСНОВНАЯ ЧАСТЬ

Уравнения Навье-Стокса, неразрывности и теплового пограничного слоя в осесимметричной постановке для цилиндрических координат имеют вид

$$v_r \frac{\partial v_r}{\partial r} + v_z \frac{\partial v_r}{\partial z} - \frac{v_\varphi^2}{r} = - \frac{1}{\rho} \frac{\partial p}{\partial r} + \\ + \nu \left(\frac{\partial^2 v_r}{\partial r^2} + \frac{1}{r} \frac{\partial v_r}{\partial r} - \frac{v_r}{r^2} + \frac{\partial^2 v_r}{\partial z^2} \right), \quad (1)$$

$$v_r \frac{\partial v_\varphi}{\partial r} + v_z \frac{\partial v_\varphi}{\partial z} + \frac{v_r v_\varphi}{r} = \\ = \nu \left(\frac{\partial^2 v_\varphi}{\partial r^2} + \frac{1}{r} \frac{\partial v_\varphi}{\partial r} - \frac{v_\varphi}{r^2} + \frac{\partial^2 v_\varphi}{\partial z^2} \right), \quad (2)$$

$$v_r \frac{\partial v_z}{\partial r} + v_z \frac{\partial v_z}{\partial z} = - \frac{1}{\rho} \frac{\partial p}{\partial z} + \\ + \nu \left(\frac{\partial^2 v_z}{\partial r^2} + \frac{1}{r} \frac{\partial v_z}{\partial r} + \frac{\partial^2 v_z}{\partial z^2} \right), \quad (3)$$

$$\frac{\partial v_r}{\partial r} + \frac{v_r}{r} + \frac{\partial v_z}{\partial z} = 0, \quad (4)$$

$$\frac{\partial T}{\partial t} + v_r \frac{\partial T}{\partial r} + v_z \frac{\partial T}{\partial z} = a \frac{\partial^2 T}{\partial z^2}. \quad (5)$$

Для обеих задач уравнения (1)–(4) стационарны;

для конического зазора пренебрегаем также производной по времени t в уравнении (5). Границные условия для задачи в коническом зазоре имеют вид $z = 0$:

$$v_r = 0, v_z = 0, v_\varphi = \Omega r, T_w - T_\infty = c_0 r^{n_*}, \quad (6)$$

$z = h$:

$$v_r = 0, v_z = 0, v_\varphi = \omega r, T_w = T_\infty. \quad (7)$$

Здесь v_r , v_φ и v_z – составляющие скорости для цилиндрических координат r , φ и z соответственно (на диске $z = 0$); p – статическое давление; T – температура; Ω и ω – угловые скорости вращения диска и конуса, соответственно; $h = h(r)$ – высота зазора; ν и a – кинематическая вязкость и температуропроводность; индексы " w " и " ∞ " означают условия на диске и на достаточном удалении от него; c_0 и n_* – константы.

Дифференциальные уравнения в частных производных (1)–(5) с помощью автомодельных переменных можно редуцировать к системе обыкновенных дифференциальных уравнений, относительно легко решаемой численно с помощью прикладных математических пакетов ("Mathcad" и др.) [4–8]. Для нахождения автомодельных переменных используем инфинитезимальный генератор, который описывает симметрии уравнений движения и теплообмена (1)–(5) в цилиндрических координатах [7]:

$$\begin{aligned} q = & [C_1 2t + C_6] \partial_t + C_1 r \partial_r + [C_1 z + C_3 + C_7 z] \partial_z - \\ & - C_1 v_r \partial_{v_r} + [C_7 v_z - C_1 v_z] \partial_{v_z} - C_1 v_\varphi \partial_{v_\varphi} + \\ & + [-C_1 NT + C_7 T] \partial_T + [C_4 \tau(t) - C_1 2p] \partial_p, \end{aligned} \quad (8)$$

где N – произвольная константа, τ – произвольная функция времени, C_1 , C_3 , C_4 , C_6 и C_7 – константы, характеризующие различные типы симметрий.

Для построения автомодельной переменной $\eta(r, z)$ необходимо на основе q_1 записать уравнение в частных производных, содержащее только независимые переменные [7]:

$$r \frac{\partial \eta(r, z)}{\partial r} + z \frac{\partial \eta(r, z)}{\partial z} = 0. \quad (9)$$

Решение уравнения (9) методом характеристик дает

$$\eta = \frac{z}{r}. \quad (10)$$

Аналогичным образом находим выражения для автомодельных функций, выбрав в качестве параметрической переменной маршевую координату r :

$$\begin{aligned} F(\eta) &= \frac{v_r r}{\nu}, G(\eta) = \frac{v_\varphi r}{\nu}, H(\eta) = \frac{v_z r}{\nu}, \\ P(\eta) &= \frac{pr^2}{\rho\nu^2}, \Theta(\eta) = \frac{T - T_\infty}{T_w - T_\infty}. \end{aligned} \quad (11)$$

Подставляя выражения (11) в уравнения (1)–(5) и опуская члены, содержащие производные по r , имеем систему обыкновенных дифференциальных уравнений с граничными условиями:

$$F^2 + G^2 + 2P + F'L + \eta P' + F''M = 0, \quad (12)$$

$$G'L + G''M = 0, \quad (13)$$

$$P' - H(1 + F) - H'L - H''M = 0, \quad (14)$$

$$H' - \eta F' = 0, \quad (15)$$

$$\Theta'' = \text{Pr} [n_* F \Theta + \Theta'(H - \eta F)], \quad (16)$$

$\eta = 0$:

$$F = H = 0, G = G_0, \Theta = 1, \quad (1)$$

$\eta = \eta_1$:

$$F = H = 0, G = G_1, \Theta = 0, \quad (2)$$

где $M = 1 + \eta^2$; $L = 3\eta + \eta F - H$; $G_0 = \text{Re}_\Omega$; $G_1 = \text{Re}_\omega$; $\text{Re}_\Omega = \Omega r^2 / \nu$; $\text{Re}_\omega = \omega r^2 / \nu$; $\eta_1 = h/r$; $\text{Pr} = \nu/a$ – число Прандтля. Индексы "0" и "1" означают условия при $\eta = 0$ и $\eta = 1$ соответственно. Здесь и ниже штрихи обозначают производные по координате η . Локальное число Нуссельта рассчитывается по соотношениям:

$$\text{Nu} = -\Theta'_{\eta=0}, \text{Nu} = K_1 \text{Re}_\omega^{1/2}, \quad (19)$$

где $\text{Nu} = q_w r / [\lambda(T_w - T_\infty)]$; q_w – тепловой поток на диске; λ – коэффициент теплопроводности.

Система (12)–(14) решалась с помощью пакета MathCAD при $\text{Re} = 1$, $\eta_1 = 0.0698$, $\text{Pr} = 0.71$ (воздух), где $\text{Re} = \text{Re}_\omega \eta_1^2 / 12$ или $\text{Re} = \text{Re}_\Omega \eta_1^2 / 12$.

Точность моделирования составляющих скорости иллюстрируется результатами расчета угла закрутки потока $\varphi_w = \text{arctg}(-F'_w / G'_w)$ на поверхности неподвижного диска при вращающемся конусе. Расчетные данные хорошо согласуются с экспериментальными [2] (рис. 1).

Как следует из рис. 2, при вращающемся конусе и неподвижном диске течение является центробежным на конусе и центростремительным на диске (кривая 1); при вращающемся диске и неподвижном конусе направление течений изменяется

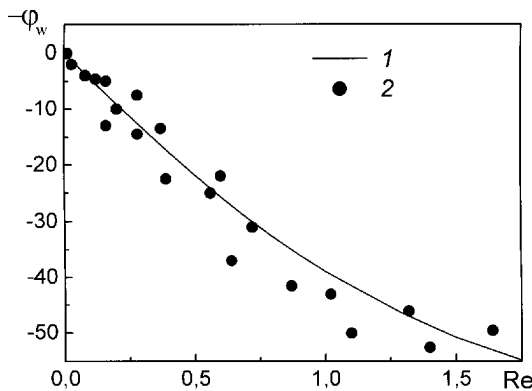


Рис. 1. Угол закрутки потока на поверхности неподвижного диска при вращающемся конусе:
1 – уравнения (12)-(15), 2 – эксперимент [2],
 $Re = Re_\omega \eta_1^2 / 12$

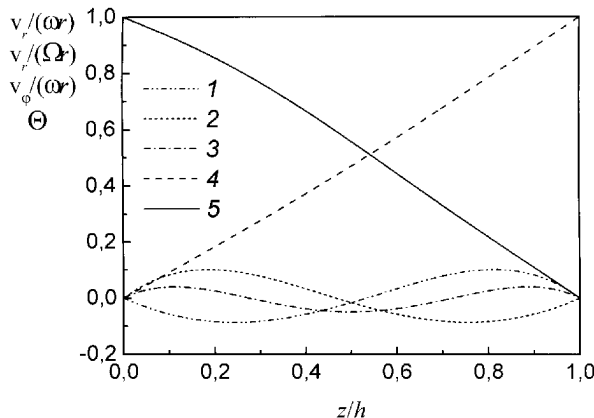


Рис. 2. Профили радиальной (1–3), тангенциальной (4) скорости и температуры (5) в зазоре при $\eta_1 = 0.0698$, $Re = 1$: 1 – $v_r/(\omega r)$ при $Re_\omega = 2463$ и $\Omega = 0$; 2 – $v_r/(\Omega r)$ при $Re_\Omega = 2463$ и $\omega = 0$; 3 – $v_r/(\omega r)$ при $Re_\omega = -Re_\Omega = 2463$; 4 – $v_\phi/(\omega r)$ при $Re_\omega = 2463$ и $\Omega = 0$; 5 – Θ при $Re_\omega = 2463$ и $\Omega = 0$, $Pr = 0.71$, $n_* = 2$.

на противоположное (кривая 2); при противоположном вращающихся диске и конусе течение является центробежным вблизи обеих поверхностей и центростремительным у середины зазора (кривая 3). Тангенциальная компонента скорости изменяется практически линейно между значениями на границах зазора, а безразмерная температура монотонно убывает от 1 на диске до 0 на конусе (см. рис. 2).

Для неподвижного диска при вращающемся конусе получено $Nu = 15.28, 13.40, 9.35$ и $K_1 = 0.308, 0.270, 0.188$ при $n_* = -1, 0, 2$ соответственно, что сопоставимо с данными для свободного вращающегося диска, где $K_1 = 0.189, 0.326, 0.519$ при тех же n_* [7]. Константа K_1 уменьшается с ростом n_* , так как знаки v_r и dT_w/dr противоположны.

Для вращающегося диска при неподвижном конусе получено $Nu = 13.33, 15.35, 19.13$ и $K_1 = 0.269, 0.309, 0.386$ при тех же n_* , то есть в этом случае при увеличении n_* константа K_1 возрастает, хотя и медленнее, чем в случае свободного вращающегося диска. При противоположном вращающихся диске и конусе имеем $Nu = 14.21, 14.44, 14.85$ и $K_1 = 0.286, 0.291, 0.299$ при $n_* = -1, 0, 2$, то есть число Нуссельта растет с ростом n_* .

Для построения автомодельных форм нестационарного теплообмена свободного вращающегося диска логично использовать ту же симметрию q_1 инфинитезимального генератора (8), но в качестве параметрической переменной использовать время t . Повторяя расчеты автомодельных форм по схеме, приведенной выше, находим

$$\eta = z/(\nu t)^{1/2}, H(\eta) = v_z(t/\nu)^{1/2}. \quad (20)$$

В результате автомодельное уравнение теплового пограничного слоя для изотермического диска и граничные условия имеют вид

$$\Theta'' = Pr[g_*\Theta + \Theta'(H - \eta/2)], \quad (21)$$

$$\Theta = 1|_{\eta=0}, \Theta = 0|_{\eta \rightarrow \infty}. \quad (22)$$

Здесь

$$g_* = \left(\frac{t}{F_t} \right) \cdot \left(\frac{dF_t}{dt} \right), F_t(t) = \frac{T_w(t) - T_\infty}{T_{w,i} - T_\infty},$$

где $T_{w,i} = \text{const}$ – температура диска в начальный момент времени, штрихи обозначают производные по η .

Для полубесконечного тела в направлении z при отсутствии радиальной теплопроводности имеем [9]:

$$F_t(t) = \frac{T_w(t) - T_\infty}{T_{w,i} - T_\infty} = \exp(\gamma^2) \cdot \operatorname{erfc}(\gamma),$$

$$g_* = \gamma^2 - \gamma/(\pi^{1/2} F_t). \quad (23)$$

Выражения для константы K_1 и параметра γ следующие:

$$K_1 = - \left(\frac{d\Theta}{d\zeta} \right) \Big|_{\zeta=0} = \frac{1}{\sqrt{\omega t}} \left(\frac{d\Theta}{d\zeta} \right) \Big|_{\eta=0},$$

$$\gamma = \frac{K_1}{Pr^{1/2}} \left(\frac{a_w}{a} \right)^{1/2} \frac{\lambda}{\lambda_w} \sqrt{\Omega t}, \quad (24)$$

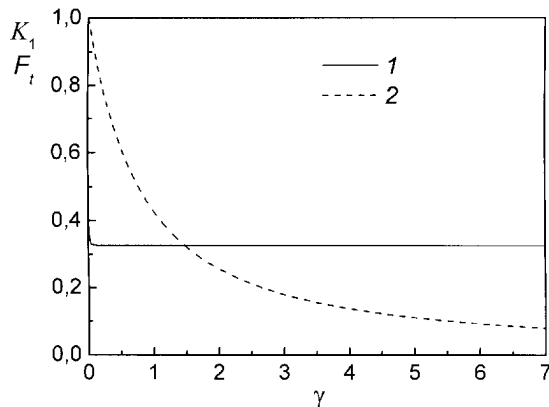


Рис. 3. Изменение K_1 и F_t в зависимости от γ : 1 – K_1 ; 2 – $F_t(t)$, формула (23)

где $\zeta = z\sqrt{\Omega/\nu}$; индекс "w" означает физические свойства диска. Функция $H(\eta)$ в выражении (20) не зависит от времени и находится в результате решения стационарной автомодельной системы уравнений Навье-Стокса для вращающихся дисков [4, 5, 8], в которой время t играет роль параметрической обезразмеривающей переменной вместо $1/\Omega$. Границным условием для тангенциальной компоненты скорости на диске является $v_\varphi t/r = \Omega t$ вместо $v_\varphi/(\Omega r) = 1$.

Расчеты проведены при $\omega = 52.36$ 1/с (500 об/мин), $\lambda_w = 0.19$ Вт/(м²·К), $a_w = 1.086 \cdot 10^{-7}$ м²/с (плексиглас); для воздуха [8] $\lambda = 0.02624$ Вт/(м²·К), $a = 2.216 \cdot 10^{-5}$ м²/с (воздух). При вычислении γ использовано стационарное значение $K_1 = 0.326$, чemu соответствует $\gamma = 0.0768\sqrt{\Omega t}$. Как показывают данные рис. 3, величина K_1 (и число Нуссельта) принимает значения, соответствующие стационарным условиям, очень быстро, то есть при $\gamma \approx 0.122$ или $t \approx 19$ с; при этом $F_t(t) \approx 0.876$. Это подтверждает обоснованность использования нестационарных методик измерения коэффициента теплоотдачи, считающегося при этом стационарным параметром.

ВЫВОДЫ

1. Переход к автомодельным переменным и функциям для вращающихся течений с теплообменом в коническом зазоре и нестационарного теплообмена вращающегося диска обеспечивает возможность адекватного и точного моделирования параметров этих задач.

2. Для конического зазора рассчитаны течения при вращающемся диске и неподвижном конусе, вращающем конусе и неподвижном диске, при противоположно вращающихся конусе и диске.

3. Для нестационарного теплообмена вращающегося диска показано, что коэффициент теплоотдачи очень быстро становится стационарной функцией при зависящих от времени температуре диска и потока.

1. Mooney M., Ewart R. H. The conical cylindrical viscometer // Physics.– 1934.– 5.– P. 350–354.
2. Sdougos H. P., Bussolari S. R., Dewey C. F. Secondary flow and turbulence in a cone-and-plate device // Journal of Fluid Mechanics.– 1984.– 11, N 4.– P. 289–295.
3. Buschmann M.H. A solution for the flow between a cone and a plate at low Reynolds number // Journal of Thermal Science.– 2002.– 138.– P. 379–404.
4. Шлихтинг Г. Теория пограничного слоя.– М.: Наука, 1974.– 712 с.
5. Дорфман Л. А. Гидродинамическое сопротивление и теплоотдача вращающихся тел.– М.: Физматгиз, 1960.– 260 с.
6. Себиси Т., Брэдшоу П. Конвективный теплообмен. Физические основы и вычислительные методы.– М.: Мир, 1987.– 590 с.
7. Авраменко А.А., Басок Б. И., Соловьев Е.Н. Симметрии уравнений конвективного теплообмена и гидродинамики.– Киев: Наукова думка, 2001.– 94 с.
8. Шевчук И.В. Ламинарный теплообмен вращающегося диска при его перпендикулярном обдуве: приближенное аналитическое решение // Теплофизика высоких температур.– 2002.– 40, N 5.– С. 739–747.
9. Ольвер П. Приложение групп Ли к исследованию дифференциальных уравнений.– М.: Мир, 1989.– 639 с.
10. Лыков А. В. Теория теплопроводности.– М.: Высшая школа, 1967.– 600 с.